

Можно показать, что эта пограничная кривая (кривая (б) на рис. 380) проходит через начало координат плоскости параметров  $a, \gamma$  и что  $a_{kp}$  монотонно возрастает при увеличении  $\gamma$ .

4. Случай малых  $a$  и  $\gamma$ . Найдем приближенные выражения для периода и амплитуды автоколебаний в случае достаточно малых  $a$  и  $\gamma$  ( $a, \gamma \ll 1$ ). Запишем уравнения (8.29) в виде:

$$\frac{\operatorname{ch} \gamma \tau_1 - \cos \tau_1}{\sin \tau_1} = - \frac{\operatorname{ch} \gamma \tau_2 - \cos \tau_2}{\sin \tau_2}, \quad \frac{\operatorname{sh} \gamma \tau_1}{\sin \tau_1} - a = \frac{\operatorname{sh} \gamma \tau_2}{\sin \tau_2}.$$

Тогда для случая  $\gamma, a \ll 1$  имеем:

$$\frac{1 - \cos \tau_1}{\sin \tau_1} = - \frac{1 - \cos \tau_2}{\sin \tau_2}, \quad \frac{\gamma \tau_1}{\sin \tau_1} - a = \frac{\gamma \tau_2}{\sin \tau_2},$$

откуда  $\bar{\tau}_1 + \bar{\tau}_2 = 2\pi$  (следовательно, период автоколебаний равен приближенно  $2\pi$ ), а  $\bar{\tau}_1$  определяется уравнением

$$\sin \bar{\tau}_1 = \frac{2\pi\gamma}{a},$$

которое имеет действительные решения (и притом два:  $0 < (\bar{\tau}_1)_1 < \frac{\pi}{2}$  и  $\frac{\pi}{2} < (\bar{\tau}_1)_2 < \pi$ ) только при  $\frac{2\pi\gamma}{a} < 1$ ; отсюда

$$a_{kp} = 2\pi\gamma.$$

Радиусы предельных циклов (они близки к окружностям), как несложно подсчитать, равны:

$$R = \frac{b}{\cos \frac{\bar{\tau}_1}{2}} = \frac{\sqrt{2} b}{\sqrt{1 + \cos \bar{\tau}_1}} = \frac{\sqrt{2} b}{\sqrt{1 \mp \sqrt{1 - \left(\frac{2\pi\gamma}{a}\right)^2}}},$$

причем устойчивому предельному циклу соответствует большее из двух решений для  $\bar{\tau}_1$  ( $\frac{\pi}{2} < \bar{\tau}_1 < \pi$ ) и знак минус в выражении для радиуса предельного цикла.

## § 5. Ламповый генератор с двухзвенной $RC$ -цепочкой

Две схемы генератора с двухзвенной  $RC$ -цепочкой (с двойным триодом с катодным сопротивлением и с пентодом в транзитронном режиме) изображены на рис. 381<sup>1</sup>). Исследование автоколебаний в них методом изоклинов было проведено в § 12 гл. V. Эти же схемы, если считать емкости  $C_a$  и  $C_g$  малыми, паразитными емкостями, являются схемами мультивибратора с одной  $RC$ -цепью (см. § 7 гл. IV).

<sup>1)</sup> Одна из емкостей  $C_a$  или  $C_g$  может отсутствовать.

Для работы обеих схем в качестве генераторов существенно, что характеристика, выражающая зависимость силы тока  $i$  от напряже-

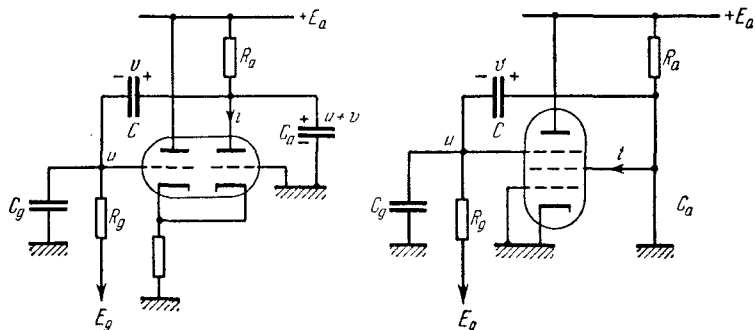


Рис. 381.

ния  $u$  на управляющем электроде лампы (или ламповой группы), имеет падающий участок. Ниже, как и раньше, мы будем пренебречь

анодной реакцией, т. е. будем считать, что  $i$  зависит только от  $u$  ( $i = i(u)$ ), но в отличие от § 12 гл. V, чтобы иметь возможность применить метод точечных преобразований для исследования генератора, мы будем аппроксимировать эту зависимость кусочно-линейной функцией, график которой приведен на рис. 382. При этом ради дальнейшего упрощения задачи мы будем полагать се-

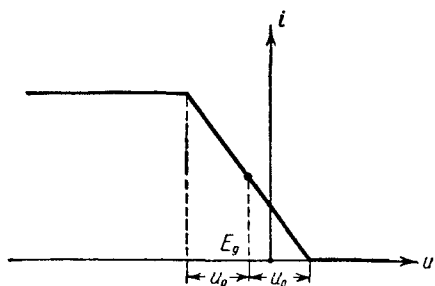


Рис. 382.

бочая точка лампы, соответствующая состоянию равновесия генератора, лежала посередине падающего участка характеристики [59].

Уравнение колебаний рассматриваемого генератора с двухзвенной  $RC$ -цепочкой, как мы видели в § 12 гл. V, можно записать в следующем виде:

$$\left. \begin{aligned} \mu \dot{x} &= -x - y - K\varphi(x), \\ \dot{y} &= x, \end{aligned} \right\} \quad (8.30)$$

где  $x, y$  — переменные, связанные с напряжениями  $u$  и  $v$  соотношениями:

$$u = E_g + u_0 x,$$

$$v = E_a - E_g - R_a i(E_g) + u_0 \frac{C_g}{C} x + u_0 \left[ 1 + \frac{C_g}{C} + \frac{R_a}{R_g} \left( 1 + \frac{C_a}{C} \right) \right] y$$

(за  $u_0$  взята половина «длины» падающего участка характеристики; см. рис. 382);

$$\varphi(x) = \frac{1}{u_0 S} \{ i(E_g + u_0 x) - i(E_g) \} = \begin{cases} +1 & \text{при } x < -1, \\ -x & \text{при } |x| \leq 1, \\ -1 & \text{при } x > +1 \end{cases}$$

— приведенная (безразмерная) характеристика лампы (или ламповой группы)<sup>1)</sup>; точкой сверху обозначено дифференцирование по безразмерному времени

$$t = \frac{t_{\text{обыч}}}{R_a(C + C_a) + R_g(C + C_g)}$$

и

$$K = \frac{SR_a}{1 + \frac{C_g}{C} + \frac{R_a}{R_g} \left( 1 + \frac{C_a}{C} \right)}, \quad \mu = \frac{R_a}{R_g} \left[ \frac{\frac{C_a}{C} + \frac{C_g}{C} + \frac{C_a}{C} \frac{C_g}{C}}{1 + \frac{C_g}{C} + \frac{R_a}{R_g} \left( 1 + \frac{C_a}{C} \right)} \right]^2$$

— безразмерные параметры ( $K > 0$ , а  $0 < \mu < \frac{1}{4}$ )<sup>2)</sup>.

Заметим, что система уравнений (8.30) эквивалентна уравнению

$$\mu \ddot{x} + [1 + K\varphi'(x)] \dot{x} + x = 0,$$

т. е. ламповый генератор с двухзвенной  $RC$ -цепочкой при кусочно-линейной аппроксимации характеристики ламповой группы эквивалентен динамической системе, уже рассмотренной в § 3 настоящей главы. Однако, имея в виду подробное рассмотрение колебаний генератора, близких к разрывным (они имеют место при  $C_a, C_g \ll C$ , т. е. при  $0 < \mu \ll 1$ ), мы проведем еще раз краткое исследование этой динамической системы, отправляясь теперь от уравнений (8.30), форма которых более удобна для указанной цели, и ограничиваясь случаем самовозбуждающегося генератора, т. е. полагая, что  $K > 1$ .

**1. Фазовая плоскость. Точечное преобразование.** Так же как и в § 3 настоящей главы, фазовая плоскость  $x, y$  рассматриваемой динамической системы (8.30) разбивается прямыми  $x = +1$  и  $x = -1$  на три области: (I), (II) и (III), в каждой из которых уравнения (8.30) линейны (рис. 383); при этом траектории являются непрерывными кривыми при переходе через эти границы областей линейности, равно как и на всей фазовой плоскости. Кроме того, разбиение плоскости  $x, y$

<sup>1)</sup> Под  $S$  мы понимаем абсолютное значение крутизны падающего участка характеристики  $i = i(u)$ .

<sup>2)</sup> Последнее неравенство связано с тем, что в двухзвенных  $RC$ -цепочках (в генераторе с выключенной лампой, т. е. с  $K = 0$ ) все процессы являются аperiодически затухающими.

на траектории симметрично относительно начала координат — состояния равновесия  $(0,0)$  в силу соответствующей симметрии уравнений (8.30).

Качественное исследование системы (8.30) полностью аналогично исследованию системы (5.89), проведенному в § 12 гл. V. Именно,

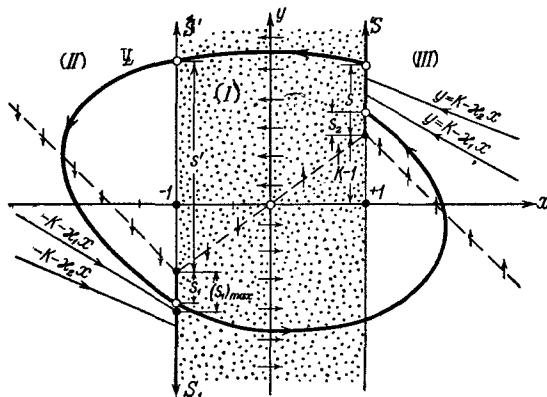


Рис. 383.

ось ординат ( $x=0$ ) является изоклиной горизонтальных касательных (там  $\dot{y}=0$ ), а ломаная

$$y = -x - K\varphi(x)$$

— изоклиной вертикальных касательных (на ней  $\dot{x}=0$ ). В областях (II) и (III) имеются по две прямолинейных траектории  $y = \mp K - x_{1,2}x$ , где  $x_{1,2}$  — величины, обратные (и по знаку, и по модулю) корням уравнения

$$\mu\lambda^2 + \lambda + 1 = 0, \quad (8.31)$$

являющегося характеристическим уравнением системы (8.30) в областях (II) и (III); поэтому  $x_1$  и  $x_2$  положительны.

Единственное состояние равновесия лежит в области (I) — в начале координат  $(0,0)$ . Поскольку в области (I) характеристическое уравнение системы (8.30) записывается в виде:

$$\mu\lambda^2 - (K-1)\lambda + 1 = 0, \quad (8.32)$$

это состояние равновесия при  $K > 1$  неустойчиво, являясь при  $4\mu > (K-1)^2$  фокусом и при  $4\mu < (K-1)^2$  — узлом<sup>1)</sup>.

<sup>1)</sup> При  $K < 1$  состояние равновесия  $(0,0)$  устойчиво и все траектории системы асимптотически (при  $t \rightarrow +\infty$ ) приближаются к нему.

Далее, так как бесконечность всегда неустойчива, то на фазовой плоскости при  $K > 1$  имеется по крайней мере один (и притом устойчивый) предельный цикл, симметричный относительно начала координат. На основании результатов § 3 настоящей главы можно утверждать, что этот предельный цикл — единственный.

Для отыскания этого предельного цикла сведем задачу к точечному преобразованию. Так как предельный цикл является симметричным<sup>1)</sup>, должен охватывать состояние равновесия  $(0, 0)$  и в то же время не может лежать целиком в области  $(I)$ , то он должен проходить во всех трех областях линейности, пересекая, в частности, прямые  $x = +1$  и  $x = -1$ . Исходя из этого, возьмем в качестве «отрезка без контакта» полупрямую  $S$ :  $x = +1$ ,  $y = K - 1 + s$  (где  $s > 0$ ), через точки которой происходит переход фазовых траекторий из области  $(III)$  в область  $(I)$ , и найдем точечное преобразование  $\Pi$  этой полупрямой самой в себя, осуществляющее траекториями системы (8.30). Так же как и в § 3, преобразование

$$\Pi = (\Pi')^2,$$

где  $\Pi'$  — точечное преобразование полупрямой  $S$  в симметричную ей полупрямую  $S_1$  ( $x = -1$ ,  $y = -(K - 1) - s_1$ ;  $s_1 > 0$ ), осуществляющее траекториями системы (8.30), выходящими из точек полупрямой  $S$ . В свою очередь преобразование  $\Pi'$  представляется в виде произведения двух преобразований  $\Pi_1$  и  $\Pi_2$  — преобразований полупрямой  $S$  в полупрямую  $S'$ :  $x = -1$ ,  $y = -(K - 1) + s'$  ( $s' > 0$ ), и полупрямой  $S'$  в полупрямую  $S_1$ , осуществляемых траекториями соответственно в областях  $(I)$  и  $(II)$ , т. е.

$$\Pi' = \Pi_1 \cdot \Pi_2.$$

Нетрудно получить (тем же способом, что и в предыдущих параграфах) параметрические выражения для функций соответствия этих преобразований.

Для вычисления функции соответствия первого преобразования следует обратиться к дифференциальным уравнениям (8.30) в области  $(I)$ , которые удобно переписать в следующем виде:

$$\left. \begin{aligned} \mu \ddot{y} - (K - 1) \dot{y} + y &= 0, \\ x &= \dot{y}. \end{aligned} \right\} \quad (8.30a)$$

Характеристическое уравнение этой системы (уравнение (8.32)) имеет при  $4\mu > (K - 1)^2$  комплексные корни  $\lambda = h_1 \pm j\omega$  и при  $4\mu < (K - 1)^2$  — действительные (положительные) корни  $\lambda = h_1 \pm \omega_1$ .

<sup>1)</sup> Доказательство симметричности предельного цикла полностью совпадает с доказательством, проведенным в § 3 настоящей главы.

$(h_1 > \omega_1)$ , где

$$h_1 = \frac{K-1}{2\mu} \quad \text{и} \quad \omega_1 = +\sqrt{\frac{(K-1)^2 - 4\mu}{2\mu}} = +\sqrt{\left|h_1^2 - \frac{1}{\mu}\right|}.$$

Пусть  $4\mu > (K-1)^2$ . Тогда общее решение уравнений (8.30а) записывается следующим образом:

$$\left. \begin{aligned} y &= e^{h_1 t} \left[ \frac{x_0}{\omega_1} \sin \omega_1 t + y_0 \left( \cos \omega_1 t - \frac{h_1}{\omega_1} \sin \omega_1 t \right) \right], \\ x &= e^{h_1 t} \left[ x_0 \left( \cos \omega_1 t + \frac{h_1}{\omega_1} \sin \omega_1 t \right) - \frac{y_0}{\mu \omega_1} \sin \omega_1 t \right] \end{aligned} \right\} \quad (8.33)$$

( $x_0, y_0$  — координаты начальной точки при  $t=0$ ; см. § 4 гл. I). Для траектории  $L$ , выходящей (будем считать, при  $t=0$ ) из точки  $s$  полупрямой  $S$ , в (8.33) следует положить:  $x_0 = +1$ ,  $y_0 = K-1+s$ . Пусть  $t_1$  — время пробега изображающей точки по траектории  $L$  в области  $(I)$  (от полупрямой  $S$  до полупрямой  $S'$ ). Тогда при  $t=t_1 > 0$   $x=-1$  и  $y=-(K-1)+s'$ , т. е.

$$\begin{aligned} -(K-1)+s' &= e^{\gamma_1 t_1} \left[ \frac{1}{\omega_1} \sin \tau_1 + (K-1+s) (\cos \tau_1 - \gamma_1 \sin \tau_1) \right], \\ -1 &= e^{\gamma_1 t_1} \left[ \cos \tau_1 + \gamma_1 \sin \tau_1 - \frac{1}{\mu \omega_1} (K-1+s) \sin \tau_1 \right], \end{aligned}$$

где

$$\tau_1 = \omega_1 t_1 \quad \text{и} \quad \gamma_1 = \frac{h_1}{\omega_1} = \frac{K-1}{+\sqrt{(K-1)^2 - 4\mu}}. \quad (8.34)$$

Разрешая второе из полученных соотношений относительно  $s$ , а затем первое — относительно  $s'$ , получим функцию соответствия преобразования  $\Pi_1$  (при  $4\mu > (K-1)^2$ ), связывающую  $s$  и  $s'$ , в следующем параметрическом виде:

$$\begin{aligned} s &= \frac{K-1}{2} \frac{e^{-\gamma_1 \tau_1} + \cos \tau_1 - \gamma_1 \sin \tau_1}{\gamma_1 \sin \tau_1}, \\ s' &= \frac{K-1}{2} \frac{e^{\gamma_1 \tau_1} + \cos \tau_1 + \gamma_1 \sin \tau_1}{\gamma_1 \sin \tau_1}, \end{aligned} \quad (8.35)$$

так как

$$\mu \omega_1 = \mu h_1 \frac{\omega_1}{h_1} = \frac{K-1}{2\gamma_1} - 1.$$

<sup>1)</sup> Выражение для  $s'$  можно получить и иначе, путем замены в выражении для  $s$ :  $s$  на  $-s'$  и  $\tau_1$  на  $-\tau_1$ . В самом деле, пусть

$$x = x_0 f_1(t) + y_0 f_2(t), \quad y = x_0 f_3(t) + y_0 f_4(t)$$

— уравнение траектории в области  $(I)$ , проходящей через точки  $s$  и  $s'$  ( $x_0, y_0$  — значения  $x, y$  при  $t=0$ ), и пусть  $t_1$  ( $t_1 > 0$ ) — время пробега изображающей точки по этой траектории от точки  $s$  до точки  $s'$ . Возьмем за начало отсчета

Аналогично при  $4\mu < (K - 1)^2$ , когда корни характеристического уравнения (8.32) действительные и общее решение уравнений (8.30а) получается из (8.33) заменой тригонометрических функций на соответствующие гиперболические, мы получим для функции соответствия преобразования  $\Pi_1$ :

$$\left. \begin{aligned} s &= \frac{K-1}{2} \frac{e^{-\gamma_1 t_1} + \operatorname{ch} \tau_1 - \gamma_1 \operatorname{sh} \tau_1}{\gamma_1 \operatorname{sh} \tau_1}, \\ s' &= \frac{K-1}{2} \frac{e^{\gamma_1 t_1} + \operatorname{ch} \tau_1 + \gamma_1 \operatorname{sh} \tau_1}{\gamma_1 \operatorname{sh} \tau_1} \end{aligned} \right\} \quad (8.36)$$

(значения  $\tau_1$  и  $\gamma_1$  по-прежнему даются выражением (8.34), но теперь  $\gamma_1 > 1$ ).

В области (II) уравнения (8.30) могут быть записаны в виде:

$$\left. \begin{aligned} \mu \ddot{y} + \dot{y} + y &= -K, \\ x &= \dot{y}. \end{aligned} \right\} \quad (8.30б)$$

Характеристическое уравнение (8.31) для этой системы всегда (напомним, что  $0 < \mu < \frac{1}{4}$ ) имеет действительные отрицательные корни  $\lambda = -h_2 \pm \omega_2$ , где

$$h_2 = \frac{1}{2\mu} \quad \text{и} \quad \omega_2 = \frac{\sqrt{1-4\mu}}{2\mu}$$

(причем  $h_2 > \omega_2$ ). Следовательно, общее решение уравнений (8.30б) может быть записано в виде:

$$\left. \begin{aligned} y &= -K + e^{-h_2 t} \left[ \frac{x_0}{\omega_2} \operatorname{sh} \omega_2 t + (y_0 + K) \left( \operatorname{ch} \omega_2 t + \frac{h_2}{\omega_2} \operatorname{sh} \omega_2 t \right) \right], \\ x &= e^{-h_2 t} \left[ x_0 \left( \operatorname{ch} \omega_2 t - \frac{h_2}{\omega_2} \operatorname{sh} \omega_2 t \right) - \frac{y_0 + K}{\mu \omega_2} \operatorname{sh} \omega_2 t \right]. \end{aligned} \right\} \quad (8.37)$$

времени тот момент, когда изображающая точка находилась в  $s$  ( $x_0 = +1$ ,  $y_0 = K - 1 + s$ ). Тогда при  $t = t_1$   $x = -1$ , т. е.

откуда

$$s = -\frac{1 + f_1(t_1)}{f_2(t_1)} - (K - 1) = \Phi_1(t_1).$$

Воспользуемся произволом в выборе начала отсчета времени и возьмем теперь за момент  $t = 0$  тот момент, когда изображающая точка находилась в  $s'$  ( $x_0 = -1$ ,  $y_0 = -(K - 1) + s'$ ). Тогда при  $t = -t_1$   $x = +1$ , что дает:

т. е.

$$s' = \frac{1 + f_1(-t_1)}{f_2(-t_1)} + (K - 1) = -\Phi_1(-t_1).$$

Таким образом,  $s'$  получается из выражения для  $s$  заменой  $t_1$  на  $-t_1$  (или  $\tau_1$  на  $-\tau_1$ ) и дополнительной сменой знака.

Пусть при  $t=0$   $x=x_0=-1$ ,  $y=y_0=-(K-1)+s'$ , а при  $t=t_2=\frac{\tau_2}{\omega_2}>0$   $x=-1$ ,  $y=-(K-1)-s_1$  ( $t_2$  — время пробега изображающей точки по траектории  $L$  в области ( $\Pi$ ) от точки  $s'$  до точки  $s_1$ ). Тогда второе соотношение (8.37) дает:

$$-1 = e^{-\gamma_2 \tau_2} \left[ -(\operatorname{ch} \tau_2 - \gamma_2 \operatorname{sh} \tau_2) - \frac{1}{\mu \omega_2} (1 + s') \operatorname{sh} \tau_2 \right],$$

где

$$\tau_2 = \omega_2 t_2 \quad \text{и} \quad \gamma_2 = \frac{h_2}{\omega_2} = \frac{1}{\sqrt{1-4\mu}} > 1. \quad (8.38)$$

Разрешая полученное уравнение относительно  $s'$ , используя соотношение  $\mu \omega_2 = \mu h_2 \frac{\omega_2}{h_2} = \frac{1}{2\gamma_2}$  и затем заменяя в полученном выражении для  $s'$ :  $s'$  на  $-s_1$  и  $\tau_2$  на  $-\tau_2$ , мы получим функцию соответствия для преобразования  $\Pi_2^{-1}$ ):

$$\left. \begin{aligned} s_1 &= \frac{e^{-\gamma_2 \tau_2} - \operatorname{ch} \tau_2 + \gamma_2 \operatorname{sh} \tau_2}{2\gamma_2 \operatorname{sh} \tau_2}, \\ s' &= \frac{e^{\gamma_2 \tau_2} - \operatorname{ch} \tau_2 - \gamma_2 \operatorname{sh} \tau_2}{2\gamma_2 \operatorname{sh} \tau_2}. \end{aligned} \right\} \quad (8.39)$$

**2. Исследование функций соответствия.** Исследование функций соответствия преобразований  $\Pi_1$  и  $\Pi_2$  мы начнем с функции соответствия преобразования  $\Pi_1$  для случая  $4\mu > (K-1)^2$  ( $K > 1$ ), когда состояние равновесия  $(0, 0)$  является неустойчивым фокусом, траектории в области ( $I$ ) — спиральами, раскручивающимися от фокуса, а сама функция соответствия выражается соотношениями (8.35). Так как изображающая точка, двигаясь от точки  $s$  до точки  $s'$  по дуге спиральной траектории в области ( $I$ ), совершает менее половины оборота вокруг фокуса  $(0, 0)$ , то параметр преобразования  $\tau_1$  — приведенное время пробега изображающей точки в области ( $I$ ) — заведомо удовлетворяет неравенству  $0 < \tau_1 < \pi$ , причем меньшим  $\tau_1$  соответствуют большие  $s$  и  $s'^2$ ). Обозначим значение  $\tau_1$ , соответствующее  $s=0$ , через  $\tau_1^0$ ; это пограничное значение параметра  $\tau_1$ , очевидно, определяется уравнением

$$\psi_1(\tau_1, \gamma_1) = 0,$$

где

$$\psi_1(\tau, \gamma) = 1 + e^{\gamma \tau} (\cos \tau - \gamma \sin \tau)$$

<sup>1)</sup> Доказательство указанного способа получения выражения для  $s_1$  полностью аналогично доказательству, приведенному в примечании на стр. 544.

<sup>2)</sup> Это вполне понятно, так как по траекториям с большими  $y$  изображающая точка движется быстрее: чем больше  $y$ , тем больше  $|\dot{x}|$  (в силу первого уравнения (8.30)) и тем меньше  $t_1(\tau_1)$ ; при  $y \rightarrow +\infty$   $\dot{x} \rightarrow -\infty$  и  $t_1 \rightarrow 0$ .

(график этой функции и графическое решение уравнения для  $\tau_1^0$  приведены на рис. 384; ясно, что  $0 < \tau_1^0 < \pi$ ). Тогда, изменяя  $\tau_1$  от  $\tau_1^0$  до 0, мы переберем все множество значений  $s$  от 0 до  $+\infty$ ; одновременно  $s'$  будет также монотонно возрастать от некоторого положительного значения

$$\begin{aligned}s'_0 &= (K-1) \left[ \frac{\sinh \gamma_1 \tau_1^0}{\gamma_1 \sin \tau_1^0} + 1 \right] > \\ &> 2(K-1)\end{aligned}$$

также до  $+\infty$ .

Дифференцируя (8.35), получим:

$$\begin{aligned}\frac{ds}{d\tau_1} &= -\frac{K-1}{2\gamma_1} \cdot \frac{1+e^{-\gamma_1\tau_1}(\cos \tau_1 + \gamma_1 \sin \tau_1)}{\sin^2 \tau_1} = -\frac{K-1}{2\gamma_1} \frac{\psi_1(\tau_1, -\gamma_1)}{\sin^2 \tau_1}, \\ \frac{ds'}{d\tau_1} &= -\frac{K-1}{2\gamma_1} \cdot \frac{1+e^{\gamma_1\tau_1}(\cos \tau_1 - \gamma_1 \sin \tau_1)}{\sin^2 \tau_1} = -\frac{K-1}{2\gamma_1} \frac{\psi_1(\tau_1, \gamma_1)}{\sin^2 \tau_1}, \\ \frac{ds}{ds'} &= \frac{\psi_1(\tau_1, -\gamma_1)}{\psi_1(\tau_1, \gamma_1)}\end{aligned}$$

И

$$\frac{d^2s}{ds'^2} = -\frac{4\gamma_1(\gamma_1^2 + 1) \sin^3 \tau_1}{(K-1)[\psi_1(\tau_1, \gamma_1)]^3} \{\sinh \gamma_1 \tau_1 - \gamma_1 \sin \tau_1\}.$$

Так как при  $0 < \tau_1 < \tau_1^0$   $\psi_1(\tau_1, \gamma_1)$  и  $\psi_1(\tau_1, -\gamma_1) > 0$ , то в этом интервале изменения  $\tau_1$   $\frac{ds}{d\tau_1} < 0$ ,  $\frac{ds'}{d\tau_1} < 0$ ,  $\frac{ds}{ds'} > 0$ ; более того,  $\frac{ds}{ds'}$  изменяется монотонно от  $+\infty$  до  $+1$  (при уменьшении  $\tau_1$  от  $\tau_1^0$  до 0 или при увеличении  $s$  от 0 до  $+\infty$ ), поскольку  $\frac{d^2s}{ds'^2} < 0$ .

Заметим, что

$$s' - s = (K-1) \left\{ \frac{\sinh \gamma_1 \tau_1}{\gamma_1 \sin \tau_1} + 1 \right\} > 2(K-1)$$

и при  $\tau_1 \rightarrow +0$   $s' - s \rightarrow 2(K-1)$ , т. е. кривая (8.35) имеет асимптоту

$$s = s' - 2(K-1).$$

Этих сведений достаточно для построения графика функции соответствия (8.35); он приведен на рис. 385.

Аналогично, при  $4\mu < (K-1)^2$ , когда функция соответствия преобразования  $\Pi_1$  записывается в виде (8.36), параметр преобразо-

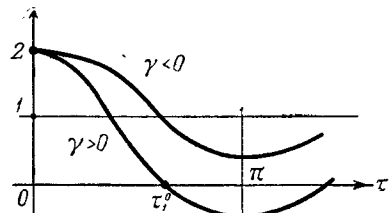


Рис. 384.

вания  $\tau_1$  также заключен в интервале  $0 < \tau_1 < \tau_1^0$ , где  $\tau_1^0$  — значение параметра  $\tau_1$  для точки  $s = 0$  и определяется теперь уравнением

$$\psi_2(\tau_1, \gamma_1) \equiv \frac{1}{\gamma_1} + e^{\gamma_1 \tau_1} (\sinh \gamma_1 \tau_1 - \gamma_1 \sinh \tau_1) = 0$$

(график функции  $\psi_2(\tau, \gamma)$  для  $\gamma = \gamma_1 > 1$  и  $\gamma = -\gamma_1 < -1$  приведен на рис. 386). При этом при уменьшении  $\tau_1$  от  $\tau_1^0$  до 0

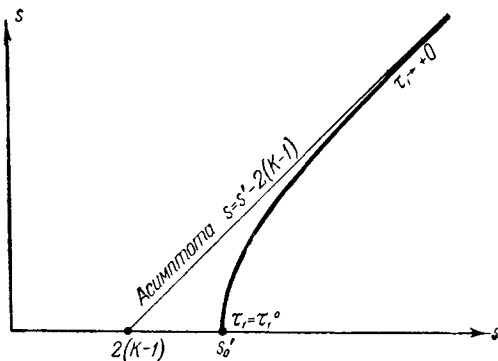


Рис. 385.

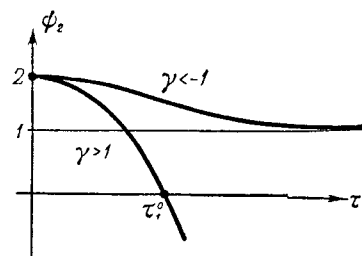


Рис. 386.

(так же как и в предыдущем случае)  $s$  монотонно возрастает от 0 до  $+\infty$ ,  $s'$  — от некоторого положительного значения

$$s'_0 = (K-1) \left\{ \frac{\sinh \gamma_1 \tau_1^0}{\gamma_1 \sinh \tau_1^0} + 1 \right\} > 2(K-1)$$

также до  $+\infty$ <sup>1)</sup>; производная  $\frac{ds}{ds'} = \frac{\psi_2(\tau_1, -\gamma_1)}{\psi_2(\tau_1, \gamma_1)}$  монотонно убывает от  $+\infty$  до  $+1$ , так как

$$\frac{d^2s}{ds'^2} = -\frac{4\gamma_1(\gamma_1^2 - 1)\sinh^3 \tau_1}{(K-1)[\psi_2(\tau_1, \gamma_1)]^3} \{ \sinh \gamma_1 \tau_1 - \gamma_1 \sinh \tau_1 \} < 0$$

при  $0 < \tau_1 < \tau_1^0$ . Таким образом, график функции соответствия (8.36) имеет тот же вид, что и график функции соответствия (8.35) (рис. 385).

Перейдем к рассмотрению функции соответствия преобразования  $\Pi_2$  — функции (8.39). Здесь, для того чтобы перебрать все множество точек полупрямой  $(s')$ :  $0 < s' < +\infty$ , мы должны изменять параметр преобразования  $\tau_2$  от 0 до  $+\infty$ , причем (в отличие от только что рассмотренной функции соответствия преобразования  $\Pi_1$ ) при изменении  $\tau_2$  от 0 до  $+\infty$   $s'$  монотонно возрастает от 0 до  $+\infty$ , а  $s_1$  — от 0 до  $(s_1)_{\max} = \frac{\gamma_2 - 1}{2\gamma_2} > 0$ <sup>2)</sup>.

<sup>1)</sup> Кривая (8.36) имеет при  $\tau_1 \rightarrow 0$  асимптоту  $s = s' - 2(K-1)$ .

<sup>2)</sup> Все сказанное можно усмотреть из следующих элементарных рассуждений относительно хода траекторий в области (II). Во-первых, так как траектории пересекаться не могут, то при увеличении  $s'$  мы будем получать

Для доказательства монотонности возрастания  $s'$  и  $s_1$  (при увеличении  $\tau_2$  от 0 до  $+\infty$ ) достаточно вычислить производные  $\frac{ds}{d\tau_2}$  и  $\frac{ds_1}{d\tau_2}$ . Нетрудно видеть, что

$$\frac{ds_1}{d\tau_2} = \frac{\psi_3(\tau_2, -\gamma_2)}{2\gamma_2 \operatorname{sh}^2 \tau_2}, \quad \frac{ds'}{d\tau_2} = \frac{\psi_3(\tau_2, \gamma_2)}{2\gamma_2 \operatorname{sh}^2 \tau_2}, \quad \frac{ds_1}{ds'} = \frac{\psi_3(\tau_2, -\gamma_2)}{\psi_3(\tau_2, \gamma_2)}$$

и

$$\frac{d^2s_1}{ds'^2} = -\frac{4\gamma_2(\gamma_2^2 - 1) \operatorname{sh}^3 \tau_2}{[\psi_3(\tau_2, \gamma_2)]^3} \{ \operatorname{sh} \gamma_2 \tau_2 - \gamma_2 \operatorname{sh} \tau_2 \},$$

где

$$\psi_3(\tau, \gamma) = 1 - e^{\tau\gamma} (\operatorname{ch} \tau - \gamma \operatorname{sh} \tau) = 2 - \psi_2(\tau, \gamma).$$

Так как  $\gamma_2 > 1$  и при  $|\gamma| > 1$  и  $\tau > 0$   $\psi_3(\tau, \gamma) > 0$ <sup>1)</sup>, то при любых  $0 < \tau_2 < +\infty$

$$\frac{ds_1}{d\tau_2} > 0, \quad \frac{ds'}{d\tau_2} > 0, \quad 0 < \frac{ds_1}{ds'} < 1, \quad \frac{d^2s_1}{ds'^2} < 0$$

(при изменении  $\tau_2$  от 0 до  $+\infty$  или  $s'$  от 0 до  $+\infty$   $\frac{ds_1}{ds'}$  монотонно

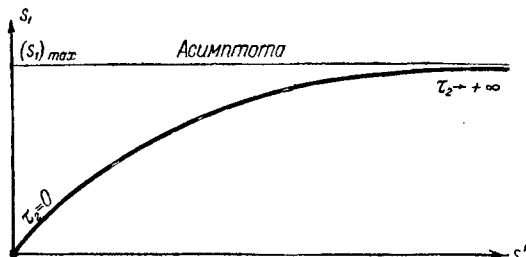


Рис. 387.

убывает от 1 до 0). На рис. 387 изображен график рассмотренной нами функции соответствия преобразования  $\Pi_2$ .

**3. Диаграмма Ламерея.** На рис. 388 построена диаграмма Ламерея — графики функций соответствия преобразований  $\Pi_1$  и  $\Pi_2$ ,

также и увеличение  $s_1$ ; при этом большие  $s'$  будут соответствовать большие длины дуг траекторий между точками  $s'$  и  $s_1$  и, естественно, большие времена пробега  $t_2$  (большие  $\tau_2$ ). Во-вторых, все траектории, выходящие в область (II) с полупрямой  $(s')$ , идут над прямолинейной траекторией  $y = -K - x_1 x$ ; поэтому  $s_1 < (s_1)_{\max}$ , где  $(s_1)_{\max}$  — значение  $s_1$  для точки пересечения этой прямолинейной траектории с полупрямой  $S_1$ . Предельные значения  $s'$  и  $s_1$  (при  $\tau_2 \rightarrow 0$  и при  $\tau_2 \rightarrow +\infty$ ) можно найти, применив правило Лопитала.

<sup>1)</sup> Для доказательства неравенства достаточно заметить, что  $\psi_3(0, \gamma) = 0$

и при  $|\gamma| > 1$  и  $\tau > 0$   $\frac{\partial \psi_3}{\partial \tau_2} = (\gamma^2 - 1) e^{\tau\gamma} \operatorname{sh} \tau > 0$ ,

нанесенные на общей плоскости (по оси абсцисс отложено  $s'$ , по оси ординат —  $s$  и  $s_1$ ). Эти графики имеют единственную точку пересечения — неподвижную точку преобразования  $\Pi'$ . Существование неподвижной точки вытекает из непрерывности функций соответствия и выполнения неравенств:

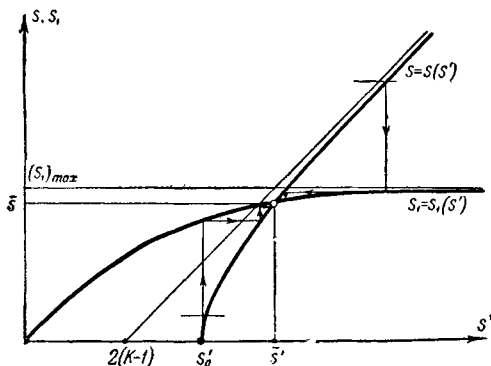


Рис. 388.

$s_1 - s > 0$  при  $s' = s'_0$  и  $s_1 - s < 0$  при достаточно больших  $s'$ , единственность — из неравенств  $0 < \frac{ds_1}{ds'} < 1 < \frac{ds}{ds'}$ , имеющих место при любых  $s' \geq s'_0$  и, в частности, в неподвижной точке, которая, следовательно, является устойчивой.

Аналитически неподвижная точка преобразования  $\Pi'$  определяется системой трансцендентных уравнений:

$$\left. \begin{aligned} \frac{K-1}{2} \frac{e^{-\gamma_1 \tau_1} + \cos \tau_1 - \gamma_1 \sin \tau_1}{\gamma_1 \sin \tau_1} &= \frac{e^{-\gamma_2 \tau_2} - \operatorname{ch} \tau_2 + \gamma_2 \operatorname{sh} \tau_2}{2\gamma_2 \operatorname{sh} \tau_2}, \\ \frac{K-1}{2} \frac{e^{\gamma_1 \tau_1} + \cos \tau_1 + \gamma_1 \sin \tau_1}{\gamma_1 \sin \tau_1} &= \frac{e^{\gamma_2 \tau_2} - \operatorname{ch} \tau_2 - \gamma_2 \operatorname{sh} \tau_2}{2\gamma_2 \operatorname{sh} \tau_2} \end{aligned} \right\} \quad (8.40)$$

при  $4\mu > (K-1)^2$  и системой

$$\left. \begin{aligned} \frac{K-1}{2} \frac{e^{-\gamma_1 \tau_1} + \operatorname{ch} \tau_1 - \gamma_1 \operatorname{sh} \tau_1}{\gamma_1 \operatorname{sh} \tau_1} &= \frac{e^{-\gamma_2 \tau_2} - \operatorname{ch} \tau_2 + \gamma_2 \operatorname{sh} \tau_2}{2\gamma_2 \operatorname{sh} \tau_2}, \\ \frac{K-1}{2} \frac{e^{\gamma_1 \tau_1} + \operatorname{ch} \tau_1 + \gamma_1 \operatorname{sh} \tau_1}{\gamma_1 \operatorname{sh} \tau_1} &= \frac{e^{\gamma_2 \tau_2} - \operatorname{ch} \tau_2 - \gamma_2 \operatorname{sh} \tau_2}{2\gamma_2 \operatorname{sh} \tau_2} \end{aligned} \right\} \quad (8.40a)$$

при  $4\mu < (K-1)^2$ .

Итак, точечное преобразование  $\Pi'$  полупрямой  $S$  в полупрямую  $S_1$  имеет единственную и притом устойчивую неподвижную точку ( $s = s_1 = \bar{s}$ ,  $s' = \bar{s}'$ ). Соответственно, на фазовой плоскости имеется единственный (симметричный и устойчивый) предельный цикл, к которому стремятся при  $t \rightarrow +\infty$  все фазовые траектории (рис. 389), — в схеме при  $K > 1$  и при любых начальных условиях устанавливаются автоколебания<sup>1)</sup>.

1) На рис. 389 изображено разбиение фазовой плоскости на траектории для случая  $K > 1 + 2\sqrt{\mu}$ , когда состояние равновесия является неустойчивым узлом.

Период автоколебаний, очевидно, равен

$$\tau = 2 \left( \frac{\bar{\tau}_1}{\omega_1} + \frac{\bar{\tau}_2}{\omega_2} \right)$$

(в единицах безразмерного времени) и

$$T = 2 [R_a(C + C_1) + R_g C] \left( \frac{\bar{\tau}_1}{\omega_1} + \frac{\bar{\tau}_2}{\omega_2} \right)$$

(в обычных единицах), где  $\bar{\tau}_1$ ,  $\bar{\tau}_2$  ( $0 < \bar{\tau}_1 < \tau_1^0$ ,  $0 < \bar{\tau}_2 < +\infty$ ) — значения  $\tau_1$  и  $\tau_2$ , соответствующие неподвижной точке и определяемые

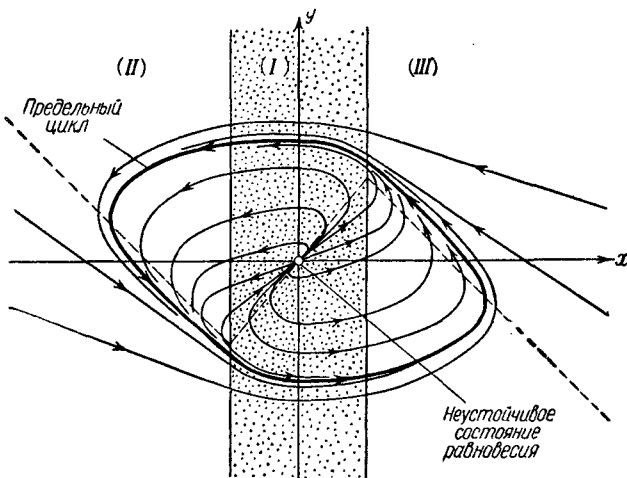


Рис. 389.

однозначно системой уравнений (8.40) при  $4\mu > (K - 1)^2$  и системой (8.40a) при  $4\mu < (K - 1)^2$ .

Отметим сразу же один предельный случай. Если  $K \rightarrow 1$  (но  $K \geq 1$ ), то предельный цикл стремится к окружности  $x^2 + y^2 = 1$ , так как  $\bar{\tau}_1 \rightarrow \pi$  и  $\bar{\tau}_2 \rightarrow 0$ , а автоколебания близки к синусоидальным с периодом  $2\pi [R_a(C + C_1) + R_g(C + C_g)]$ .

**4. Разрывные колебания.** Рассмотрим теперь другой, весьма интересный предельный случай

$$\mu \ll 1, \quad \mu \ll \frac{1}{4}(K - 1)^2$$

— случай мультивибратора с одной  $RC$ -цепью (малые, паразитные емкости  $C_a$ ,  $C_g \ll C$ ), когда автоколебания в схеме носят разрывный характер. Разрывные колебания, как мы увидим в гл. X, отображаются дифференциальными уравнениями с малыми коэффициентами при

старших производных, и система (8.30) при малом  $\mu$  является примером (достаточно простым, но типичным) подобных динамических систем.

Для получения разбиения фазовой плоскости  $x, y$  на траектории системы (8.30) при достаточно малых  $\mu$  выпишем уравнение интегральных кривых

$$\frac{dy}{dx} = -\frac{\mu x}{x + y + K\varphi(x)} \quad (8.41)$$

и построим на плоскости  $x, y$  изоклину вертикальных касательных — кривую  $F$

$$y = -x - K\varphi(x) \quad (8.42)$$

(на ней  $\dot{x} = 0$  и  $\frac{dy}{dx} = \infty$ ).

Из уравнений (8.30) и (8.41) следует, что при достаточно малых  $\mu$  (при  $\mu \rightarrow +0$ )  $|\dot{x}|$  быстро возрастает, а  $|\frac{dy}{dx}|$  быстро убывает при удалении от изоклины  $F$ : в точках  $(x, y)$  на расстояниях порядка  $\mu$  от нее  $\dot{x}$  и  $\frac{dy}{dx} = O(1)$ , а уже на расстояниях порядка  $\sqrt{\mu}$   $\dot{x} = O(\mu^{-1/2})$  и  $\frac{dy}{dx} = O(\mu^{1/2})$ , т. е.  $\dot{x} \rightarrow \infty$ , а  $\frac{dy}{dx} \rightarrow 0$  при  $\mu \rightarrow +0^1$ . Следовательно, при достаточно малых  $\mu$  фазовые траектории вне  $\sqrt{\mu}$ -окрестности кривой  $F$  сколь угодно близки к горизонтальным прямым  $y = \text{const}$  (там  $\frac{dy}{dx} \rightarrow 0$  при  $\mu \rightarrow +0$ , по крайней мере, как  $\sqrt{\mu}$ ), и изображающая точка двигается по ним сколь угодно быстро ( $\dot{x} \rightarrow \infty$  как  $\frac{1}{\sqrt{\mu}}$  или быстрее)<sup>2</sup>). При этом изображающая точка двигается вправо в точках, лежащих под изоклиной  $F$  (там  $-x - y - K\varphi(x) > 0$  и  $\dot{x} = \frac{-x - y - K\varphi(x)}{\mu} \rightarrow +\infty$ ), и влево — над ней (рис. 390). Эти траектории сколь угодно быстрых, скачкообразных движений системы (в пределе мгновенных скачков) идут из бесконечности и от отрезка  $CA$  изоклины  $F$  к полупрямым  $F_1^+$  и  $F_2^+$ , являющимся частями изоклины  $F$ , лежащими в областях (II)

<sup>1)</sup> Здесь и ниже мы обозначаем через  $O[f(\mu)]$  функции, которые ведут себя при малых  $\mu$  как  $f(\mu)$ ; запись  $g(x, y, \mu) = O[f(\mu)]$  означает, что при  $\mu \rightarrow +0$  отношение  $\frac{g(x, y, \mu)}{f(\mu)}$  стремится к конечному пределу (вообще говоря, зависящему от  $x, y$ ).

<sup>2)</sup> Под  $\epsilon$ -окрестностью некоторой кривой, как и раньше, понимается множество всех точек, расстояния от которых до данной кривой не превышают  $\epsilon$ . Очевидно,  $\sqrt{\mu}$ -окрестность кривой  $F$  стягивается к  $F$  при  $\mu \rightarrow 0$ .

и (III). В  $\mu$ -окрестностях полупрямых  $F_1^+$  и  $F_2^+$   $\dot{x}$  остается ограниченной величиной при  $\mu \rightarrow +0$ , т. е. в этих окрестностях лежат траектории «медленных» движений системы (движений с фазовыми скоростями, остающимися ограниченными при  $\mu \rightarrow +0$ )<sup>1)</sup>. Медленное

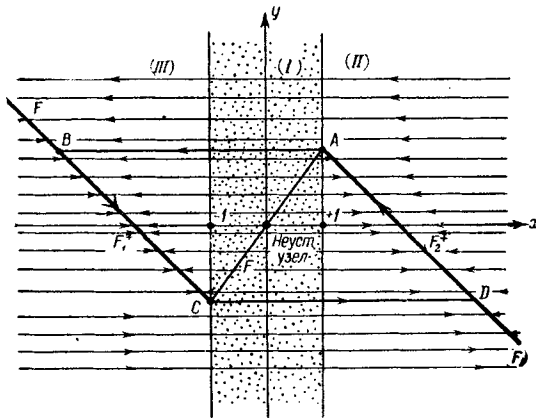


Рис. 390.

движение изображающей точки переходит в сколь угодно быстрое, скачкообразное в  $\sqrt{\mu}$ -окрестностях точек  $A$  и  $C$ .

Таким образом, движение изображающей точки системы (8.30) при достаточно малых  $\mu$  будет слагаться из чередующихся сколь угодно быстрых, скачкообразных движений по траекториям, сколь угодно близким к горизонтальным прямым  $y = \text{const}$ , и «медленных» движений по траекториям, лежащим в  $\mu$ -окрестностях полупрямых  $F_1^+$  и  $F_2^+$ . На рис. 390 изображено *пределное* (при  $\mu \rightarrow +0$ ) разбиение фазовой плоскости на траектории: траектории скачкообразных движений (мгновенных скачков) изображены прямыми  $y = \text{const}$ , траектории «медленных» движений — полупрямыми  $F_1^+$  и  $F_2^+$ . Пределным циклом будет замкнутая кривая  $ABCDA^2)$ .

<sup>1)</sup> Напомним, что  $\dot{y} = x$  и, следовательно, остается ограниченной величиной при  $\mu \rightarrow +0$  и внутри окрестности кривой  $F$ , и вне ее.

<sup>2)</sup> Приближенные (асимптотические) уравнения движения рассматриваемой системы при достаточно малых  $\mu$  можно записать в виде:

$$\mu \dot{x} = -x - y_0 - K\varphi(x) \quad (\text{A})$$

во время скачкообразного движения по траектории  $y = y_0 = \text{const}$  (но вне некоторой окрестности кривой  $F$ ) и

$$\left. \begin{aligned} \dot{y} &= x \\ y &= -x - K\varphi(x) \end{aligned} \right\} \text{ или } \dot{x} [1 + K\varphi'(x)] + x = 0 \quad (\text{B})$$

Докажем теперь строго, что кривая  $ABCDA$  действительно является предельным положением предельного цикла системы (8.30) при  $\mu \rightarrow +0$ . Доказательство проведем путем построения на фазовой плоскости такой области ( $\varepsilon$ ), которая содержала бы

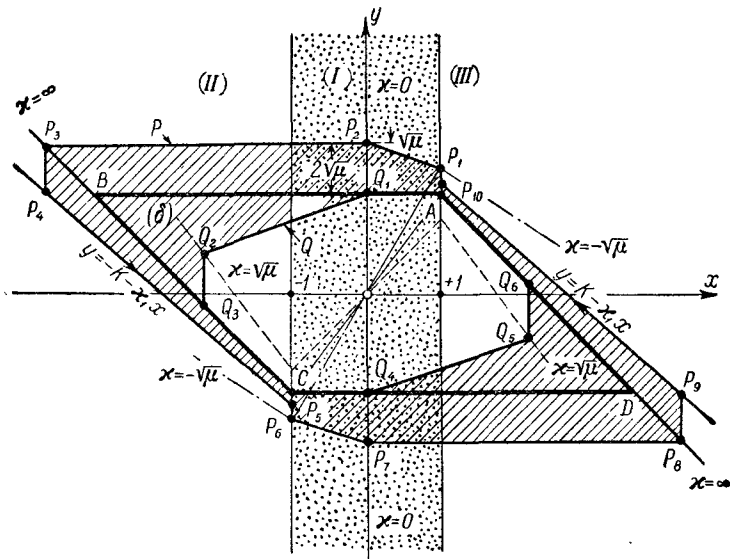


Рис. 391.

внутри себя (или на своей границе) кривую  $ABCDA$ , стягивалась к последней при  $\mu \rightarrow +0$  и из которой фазовые траектории не могли бы выходить (при возрастании  $t$ ). С этой целью построим на фазовой плоскости (рис. 391) изоклины  $x = 0$  (ось  $y$ ),  $x = \infty$  (кривую  $F$ , см. рис. 390), изоклины  $x = -\sqrt{\mu}$  и

во время «медленного» движения (вблизи  $F_1^+$  и  $F_2^+$ ). Уравнением (B) мы пользовались при рассмотрении мультивибратора в § 7 гл. IV, заменяя динамическое рассмотрение быстрых (при  $C_a, C_g \ll C$ ) процессов постулатом скачка. Этот постулат (система из состояний  $|x| \leq 1$  мгновенно «перепрыгивает» в состояния  $|x| > 1$ , причем при скачке  $y$ , т. е. напряжение на конденсаторе  $C$ , остается неизменным) теперь получается как следствие динамических уравнений (8.30) при  $\mu \rightarrow +0$ .

Интегрируя на участках  $BC$  и  $DA$  уравнение «медленного» движения  $\dot{x} + x = 0$  (см. § 7 гл. IV), мы получим предельное выражение для периода автоколебаний:  $\lim_{\mu \rightarrow +0} \tau = 2 \ln(2K - 1)$ , так как для периодического движения

при  $\mu \rightarrow +0$  время пробега изображающей точки в области (I)  $\bar{t}_1 \rightarrow +0$  и в области (II)  $\bar{t}_2 \rightarrow \ln(2K - 1)$ .

$x = +\sqrt{\mu^{-1}}$ , а также замкнутые кривые  $P$  и  $Q$ , симметричные относительно начала координат и составленные из отрезков прямых следующим образом.

Построение первого контура  $P$  (контура  $P_1P_2P_3P_4P_5P_6P_7P_8P_9P_{10}P_1$ ) начнем с точки  $P_1(1, K - 1 + \sqrt{\mu})$ , являющейся точкой пересечения изоклины  $x = -\sqrt{\mu}$  с прямой  $x = +1$ . Отрезок  $P_1P_2$  имеет угловой коэффициент, равный  $-\sqrt{\mu}$ , и соединяет точки  $P_1$  и  $P_2(0, K - 1 + 2\sqrt{\mu})$ . Далее проводим горизонтальный отрезок  $P_2P_3$  до пересечения с изоклиной  $x = \infty$ , затем вертикальный отрезок  $P_3P_4$  до пересечения с прямолинейной траекторией системы (8.30) в области (II):

$$y = -K - x_1 x, \quad \text{где} \quad x_1 = \frac{1 + \sqrt{1 - 4\mu}}{2} = 1 + O(\mu);$$

$P_4P_5$  представляет собой отрезок этой траектории и, наконец,  $P_5P_6$  — отрезок прямой  $x = -1$ , причем точка  $P_6(-1, -K + 1 - \sqrt{\mu})$  симметрична точке  $P_1$  и расположена ниже точки  $P_5(-1, -K - x_1)$ . Вторая половина контура  $P$  симметрична только что построенной ломаной.

Половина контура  $Q$  состоит из отрезка  $AQ_1$  горизонтальной прямой  $y = K - 1$  (точка  $Q_1$  лежит на оси ординат), отрезка  $Q_1Q_2$  с угловым коэффициентом, равным  $+\sqrt{\mu}$  (точка  $Q_2$  лежит на изоклине  $x = +\sqrt{\mu}$ ), вертикального отрезка  $Q_2Q_3$ , проведенного до пересечения с изоклиной  $x = \infty$ , и из отрезка  $Q_3C$  изоклины  $x = \infty$ ; вторая половина контура  $Q$  (ломаная  $CQ_4Q_5Q_6A$ ) симметрична первой.

Покажем, что область  $(\varepsilon)$ , заключенная между контурами  $P$  и  $Q$  (на рис. 391 она заштрихована), удовлетворяет всем поставленным выше требованиям. Эта область, во-первых, содержит внутри себя (или на своей границе) кривую  $ABCDA$  и стягивается к ней при  $\mu \rightarrow +0$ , так как наибольшие расстояния кривых  $P$  и  $Q$  (границы области  $(\varepsilon)$ ) от кривой  $ABCDA$  не превышают соответственно  $2\sqrt{\mu}$  и  $(2K - 1)\sqrt{\mu}$  и, следовательно, стремятся к нулю при  $\mu \rightarrow +0$ . Во-вторых, фазовые траектории не могут выйти из области  $(\varepsilon)$  (при

<sup>1)</sup> Согласно (8.41) уравнением изоклины  $\frac{dy}{dx} = x$  будет

$$x = -\frac{\mu x}{x + y + K\varphi(x)} \quad \text{или} \quad y = -\left(1 + \frac{\mu}{x}\right)x - K\varphi(x),$$

следовательно, изоклинами  $x = \pm\sqrt{\mu}$  будут ломаные

$$y = -(1 \pm \sqrt{\mu})x - K\varphi(x).$$

возрастающем  $t$ ), ибо на ее границах траектории либо касаются границ, либо пересекают их, входя в область  $(\varepsilon)$ .

Для доказательства последнего утверждения достаточно рассмотреть ход траекторий системы (8.30) на ломаных  $P_1P_2P_3P_4P_5P_6$  и  $AQ_1Q_2Q_3C$ . На отрезке  $P_1P_2$ , лежащем между изоклиниами  $x = -V_\mu^-$  и  $x = 0$  над изоклиной  $F$ ,  $-V_\mu^- \leq \frac{dy}{dx} \leq 0$  и  $\dot{x} < 0$ ; там траектории имеют меньший наклон, чем сам отрезок, изображающие точки двигаются влево и, следовательно, входят в область  $(\varepsilon)$  (исключение составляет точка  $P_1$ , в которой траектория касается отрезка  $P_1P_2$ ). На отрезке  $P_2P_3$   $\dot{y} = x \leq 0$  (траектории идут вниз), на  $P_3P_4$  и  $P_5P_6$   $\dot{x} > 0$ , ибо они расположены под кривой  $F$  (траектории идут вправо). Отрезок  $P_4P_5$  сам является траекторией и поэтому не может пересекаться другими траекториями. Таким образом, траектории системы (8.30) на половине  $P_1P_2P_3P_4P_5P_6$  контура  $P$  либо касаются этого контура, либо пересекают его, входя в область  $(\varepsilon)$ . То же самое (в силу симметрии траекторий) можно сказать и относительно хода траекторий на второй половине контура  $P$ .

Аналогично на  $AQ_1$   $\dot{y} = x \geq 0$ , на отрезке  $Q_1Q_2$ , заключенном между изоклиниами  $x = 0$  и  $x = +V_\mu^+$ ,  $0 \leq \frac{dy}{dx} \leq +V_\mu^+$  и  $\dot{x} < 0$ , на  $Q_2Q_3$   $\dot{x} \leq 0$  и на  $Q_3C$   $\dot{x} = 0$ , но  $\dot{y} < 0$ . Отсюда следует, что траектории только входят в область  $(\varepsilon)$  и через ее внутреннюю границу  $Q$  (мы доказали это для одной половины контура  $AQ_1Q_2Q_3C$ , но в силу симметрии траекторий это утверждение справедливо также и для другой половины  $CQ_4Q_5Q_6A$  контура  $Q$ ).

Итак, фазовые траектории системы (8.39) на границах области  $(\varepsilon)$  — на контурах  $P$  и  $Q$  — либо касаются, либо пересекают их, входя в область  $(\varepsilon)$ . Так как эта область не содержит состояний равновесия, то согласно известной теореме качественной теории дифференциальных уравнений второго порядка (см. теорему V § 2 гл. VI) в ней существует устойчивый предельный цикл. Тем самым мы показали, что единственный и устойчивый предельный цикл системы (8.30) находится в построенной нами области  $(\varepsilon)$  и, следовательно, стремится к  $ABCDA$  при  $\mu \rightarrow +0^1$ .

**5. Период автоколебаний при малых  $\mu$ .** Асимптотическая формула для периода разрывных автоколебаний

$$\tau = 2 \ln(2K - 1), \quad (8.43)$$

найденная ранее (см., например, § 7 гл. IV), оказывается, дает довольно значительные погрешности для периода автоколебаний мульти-

<sup>1)</sup> Это же можно сформулировать несколько иначе: предельный цикл системы (8.30) находится в  $\delta$ -окрестности кривой  $ABCDA$ , где  $\delta = O(\sqrt{\mu})$ . Например,  $\delta$ -окрестность кривой  $ABCDA$ , где  $\delta$  — наибольшее из  $2\sqrt{\mu}$  и  $(2K - 1)\sqrt{\mu}$ , содержит внутри себя область  $(\varepsilon)$  и, следовательно, предельный цикл.

вибратора, если параметр  $\mu$  не очень мал. Например, при  $\mu = 0,05$  и  $K = 2$ , когда автоколебания весьма близки к разрывным<sup>1)</sup>, погрешность формулы (8.43) составляет около 20%. В связи с этим представляется целесообразным провести вычисление асимптотического выражения для периода автоколебаний мультивибратора при малых  $\mu$  (при  $C_a, C_g \ll C$ ), исходя не из предельной (при  $\mu \rightarrow +0$ ) структуры разбиения фазовой плоскости на траектории (рис. 390), а из функций соответствия (8.36), (8.39) для преобразований  $\Pi_1$  и  $\Pi_2$  и уравнений (8.40a), точно определяющих неподвижную точку преобразования  $\Pi'$  и предельный цикл при малых  $\mu$ <sup>2)</sup>.

Форма записи функций соответствия (8.36) и (8.39), а также уравнений (8.40a) несколько неудобна для этой цели. Перейдём поэтому в (8.36) и (8.39) от  $\tau_1 = \omega_1 t_1$ ,  $\tau_2 = \omega_2 t_2$  непосредственно к  $t_1$  и  $t_2$  — временам пробега изображающей точки в областях (I) и (II). Обозначим корни характеристического уравнения (8.32) (для области (I)) через  $\lambda_1$  и  $\lambda'_1$ :

$$\left. \begin{aligned} \lambda_1 &= h_1 - \omega_1 = \frac{K-1 - \sqrt{(K-1)^2 - 4\mu}}{2\mu} = \\ &= \frac{1}{K-1} + \frac{\mu}{(K-1)^3} + 2 \frac{\mu^2}{(K-1)^5} + \dots, \\ \lambda'_1 &= h_1 + \omega_1 = \frac{K-1 + \sqrt{(K-1)^2 - 4\mu}}{2\mu} = \\ &= \frac{K-1}{\mu} - \frac{1}{K-1} - \frac{\mu}{(K-1)^3} - 2 \frac{\mu^2}{(K-1)^5} - \dots, \end{aligned} \right\} \quad (8.44)$$

а абсолютные значения корней характеристического уравнения (8.31) (для области (II)) — через  $\lambda_2$  и  $\lambda'_2$ :

$$\left. \begin{aligned} \lambda_2 &= h_2 - \omega_2 = \frac{1 - \sqrt{1 - 4\mu}}{2\mu} = 1 + \mu + 2\mu^2 + \dots, \\ \lambda'_2 &= h_2 + \omega_2 = \frac{1 + \sqrt{1 - 4\mu}}{2\mu} = \frac{1}{\mu} - 1 - \mu - 2\mu^2 - \dots \end{aligned} \right\} \quad (8.44a)$$

Подставим  $\tau_1 = \omega_1 t_1$  в выражение (8.36) для  $s$  и умножим числитель и знаменатель этого выражения на  $e^{h_1 t_1}$ :

$$s = \frac{K-1}{2} \frac{\omega_1}{h_1} \frac{1 + \frac{1}{2} [e^{\lambda'_1 t_1} + e^{\lambda_1 t_1}] - \frac{1}{2} \frac{h_1}{\omega_1} [e^{\lambda'_1 t_1} - e^{\lambda_1 t_1}]}{\frac{1}{2} [e^{\lambda'_1 t_1} - e^{\lambda_1 t_1}]}.$$

<sup>1)</sup> При  $\mu = 0,05$  и  $K = 2$  автоколебания мультивибратора состоят из чередующихся «медленных» (со скоростью  $\dot{x}$  порядка единицы) и «быстрых», скачкообразных изменений  $x$  (со скоростью порядка  $\frac{1}{\mu} = 20$ ).

<sup>2)</sup> См. также [114, 52, 93, 158, 159], где проводятся вычисления асимптотических разложений для периода периодических решений некоторых дифференциальных уравнений второго порядка. В [114], например, рассмотрено уравнение, эквивалентное системе (8.30) при  $K = 2$ .

Заметив, что  $\frac{K-1}{2h_1} = \mu$ ,  $h_1 = \frac{1}{2}(\lambda'_1 + \lambda_1)$ ,  $\omega_1 = \frac{1}{2}(\lambda'_1 - \lambda_1)$ , мы получим следующие параметрические выражения для функции соответствия преобразования  $\Pi_1$ :

$$\left. \begin{aligned} s &= \mu \frac{\lambda'_1 [1 + e^{\lambda_1 t_1}] - \lambda_1 [1 + e^{\lambda'_1 t_1}]}{e^{\lambda'_1 t_1} - e^{\lambda_1 t_1}}, \\ s' &= \mu \frac{\lambda'_1 [1 + e^{-\lambda_1 t_1}] - \lambda_1 [1 + e^{-\lambda'_1 t_1}]}{e^{-\lambda_1 t_1} - e^{-\lambda'_1 t_1}} \end{aligned} \right\} \quad (8.45)$$

( $s'$  получается из выражения для  $s$  сменой знака и заменой  $t_1$  на  $-t_1$ ; см. примечание на стр. 544). Тем же путем, заменяя в (8.38)  $\tau_2$  на  $\omega_2 t_2$  и пользуясь соотношениями:

$$\begin{aligned} \gamma_2 \omega_2 &= h_2, \quad \frac{1}{2h_2} = \mu, \quad h_2 + \omega_2 = \lambda'_2, \quad h_2 - \omega_2 = \lambda_2, \\ h_2 &= \frac{1}{2}(\lambda'_2 + \lambda_2) \quad \text{и} \quad \omega_2 = \frac{1}{2}(\lambda'_2 - \lambda_2), \end{aligned}$$

получим для преобразования  $\Pi_2$ :

$$\left. \begin{aligned} s_1 &= \mu \frac{\lambda_2 [e^{\lambda'_2 t_2} - 1] - \lambda'_2 [e^{\lambda_2 t_2} - 1]}{e^{\lambda'_2 t_2} - e^{\lambda_2 t_2}}, \\ s' &= \mu \frac{\lambda'_2 [1 - e^{-\lambda_2 t_2}] - \lambda_2 [1 - e^{-\lambda'_2 t_2}]}{e^{-\lambda_2 t_2} - e^{-\lambda'_2 t_2}}. \end{aligned} \right\} \quad (8.46)$$

Из этих выражений для функций соответствия преобразований  $\Pi_1$  и  $\Pi_2$  уже нетрудно получить асимптотические разложения функций соответствия, а также периода автоколебаний для малых  $\mu$ , пользуясь различием в порядке величины корней  $\lambda_1$ ,  $\lambda_2$  и  $\lambda'_1$ ,  $\lambda'_2$ , т. е. тем, что  $\lambda_1, \lambda_2 = O(1)$ , а  $\lambda'_1, \lambda'_2 = O\left(\frac{1}{\mu}\right)$ .

Ясно, что при движении изображающей точки по какой-либо траектории, пересекающей полупрямую  $S$  (например, по предельному циклу), время ее пробега в области (I)  $t_1 \rightarrow +0$  при  $\mu \rightarrow +0$ , а в области (II)  $t_2$  стремится к конечному пределу ( $t_2 = O(1)$ )<sup>1)</sup>. Но тогда  $e^{-\lambda_2 t_2} = O(1)$ , а  $e^{-\lambda'_2 t_2} = O(e^{-\frac{1}{\mu}})$ , т. е. стремится к нулю

<sup>1)</sup> В области (I) абсцисса  $x$  изображающей точки изменяется от  $+1$  до  $-1$  со скоростью  $\dot{x} \rightarrow -\infty$  при  $\mu \rightarrow +0$ ; поэтому при  $\mu \rightarrow +0$   $t_1 \rightarrow +0$ ; можно показать, что для ограниченных  $0 < s < M$   $O(\mu) < t_1 < O\left(\mu \ln \frac{1}{\mu}\right)$ .

В области (II) ордината  $y$  изображающей точки изменяется на конечную величину; от  $y' = -(K-1) + s' > K-1$ , ибо  $s' > 2(K-1)$ , до  $y_1 = -(K-1) - s_1 < -(K-1)$  с конечной скоростью  $\dot{y} = x$ ; отсюда следует, что  $t_2 = O(1)$ .

(при  $\mu \rightarrow +0$ ) быстрее любой степени  $\mu$ . Поэтому (с точностью до членов порядка  $e^{-\frac{1}{\mu}}$ ) функция соответствия преобразования  $H_2$  может быть записана в виде<sup>1</sup>):

$$\left. \begin{aligned} s_1 &= \mu \lambda_2 + O\left(e^{-\frac{1}{\mu}}\right), \\ s' &= \mu [(\lambda'_2 - \lambda_2) e^{\lambda_2 t_2} - \lambda'_2] + O\left(e^{-\frac{1}{\mu}}\right). \end{aligned} \right\} \quad (8.46a)$$

С той же степенью точности для предельного цикла

$$\bar{s} = \bar{s}_1 = \mu \lambda_2 + O\left(e^{-\frac{1}{\mu}}\right). \quad (8.46b)$$

Подставив (8.46б) в первое соотношение (8.45), мы получим уравнение, определяющее  $\bar{t}_1$  — время пробега изображающей точки по предельному циклу в области (I):

$$[\lambda_2 + \lambda_1 + O\left(e^{-\frac{1}{\mu}}\right)] e^{\lambda'_1 \bar{t}_1} = (\lambda'_1 + \lambda_2) e^{\lambda_1 \bar{t}_1} + \lambda'_1 - \lambda_1. \quad (8.47).$$

Это уравнение можно решить методом последовательных приближений, используя различие в порядках величины корней  $\lambda_1$  и  $\lambda'_1$ . Оценим сначала порядок величины  $\bar{t}_1$ ; так как  $e^{\lambda'_1 \bar{t}_1} \rightarrow 1$  при  $\mu \rightarrow 0$ , то для выполнения уравнения (8.47)  $e^{\lambda'_1 \bar{t}_1}$  должно быть величиной порядка  $\lambda'_1$ , т. е.  $e^{\lambda'_1 \bar{t}_1} = O\left(\frac{1}{\mu}\right)$ ,  $\lambda'_1 \bar{t}_1 = O\left(\ln \frac{1}{\mu}\right)$  и  $\bar{t}_1 = O\left(\mu \ln \frac{1}{\mu}\right)^2$ .

Подставим  $e^{\lambda_1 \bar{t}_1} = 1 + O(\lambda_1 \bar{t}_1) = 1 + O\left(\mu \ln \frac{1}{\mu}\right)$  в (8.47):

$$e^{\lambda'_1 \bar{t}_1} = \frac{2\lambda'_1 + \lambda_2 - \lambda_1 + \lambda'_1 O\left(\mu \ln \frac{1}{\mu}\right)}{\lambda_2 + \lambda_1} = \frac{2(K-1)^2}{\mu K} \left[ 1 + O\left(\mu \ln \frac{1}{\mu}\right) \right],$$

<sup>1)</sup> Асимптотическое выражение (8.46а) справедливо для любых  $s'$ , больших сколь угодно малой, но фиксированной величины ( $s' > a$ ). Первое соотношение (8.46а) показывает, что все траектории, пересекающие полупрямую ( $s'$ ) вне некоторой фиксированной окрестности точки  $s' = 0$ , и в частности все траектории, идущие из области (III), включая предельный цикл, входят в области (II)

в очень малую (порядка  $e^{-\frac{1}{\mu}}$ ) окрестность прямолинейной траектории  $y = -K - \lambda_1 x$ .

<sup>2)</sup> Таким образом, при  $\mu \rightarrow +0$   $\bar{t}_1 \rightarrow +0$ , но медленнее  $\mu$  и быстрее  $\mu^\beta$  ( $0 < \beta < 1$ ), так как при любом  $0 < \beta < 1$  и достаточно малых  $\mu$   $O(\mu) < O\left(\mu \ln \frac{1}{\mu}\right) < O(\mu^\beta)$ . Такой порядок малости  $\bar{t}_1$  определяется тем, что предельный цикл в области (I) идет сначала в окрестности (порядка  $\mu$ ) точки  $A(1, K-1)$  изоклины  $F$ , где  $|\dot{x}| < O(1)$ . Для траекторий, пересекающих полупрямую  $S$  на конечном расстоянии от точки  $A$ ,  $t_1 = O(\mu)$ .

откуда

$$\lambda'_1 \bar{t}_1 = \ln \frac{1}{\mu} + \ln \frac{2(K-1)^2}{K} + \ln \left[ 1 + O\left(\mu \ln \frac{1}{\mu}\right) \right],$$

т. , так как

$$\ln \left[ 1 + O\left(\mu \ln \frac{1}{\mu}\right) \right] = O\left(\mu \ln \frac{1}{\mu}\right) \quad \text{и} \quad \frac{1}{\lambda'_1} = \mu \lambda_1 = \frac{\mu}{K-1} + O(\mu^2),$$

$$\bar{t}_1 = \frac{\mu}{K-1} \ln \frac{1}{\mu} + \frac{\mu}{K-1} \ln \frac{2(K-1)^2}{K} + O\left(\mu^2 \ln \frac{1}{\mu}\right)^1. \quad (8.48)$$

Найдем теперь, пользуясь вторым соотношением (8.45), асимптотическое выражение для  $\bar{s}'$  (для координаты точки пересечения предельного цикла с полупрямой  $S'$ ), с тем чтобы затем на основании (8.46а) найти  $\bar{t}_2$  и период автоколебаний. Согласно (8.48) имеем:

$$e^{-\lambda'_1 \bar{t}_1} = \frac{\mu K}{(K-1)^2} + O\left(\mu^2 \ln \frac{1}{\mu}\right),$$

$$\lambda_1 \bar{t}_1 = \frac{\mu}{(K-1)^2} \ln \frac{1}{\mu} + \frac{\mu}{(K-1)^2} \ln \frac{2(K-1)^2}{K} + O\left(\mu^2 \ln \frac{1}{\mu}\right)$$

и

$$\begin{aligned} e^{\lambda_1 \bar{t}_1} &= 1 + \lambda_1 \bar{t}_1 + O(\lambda_1^2 \bar{t}_1^2) = 1 + \frac{\mu}{(K-1)^2} \ln \frac{1}{\mu} + \\ &+ \frac{\mu}{(K-1)^2} \ln \frac{2(K-1)^2}{K} + O\left(\mu^2 \ln^2 \frac{1}{\mu}\right). \end{aligned}$$

Поэтому в силу второго уравнения (8.45), которое мы перепишем в виде:

$$s' = \frac{(\mu \lambda'_1 - \mu \lambda_1) e^{\lambda_1 \bar{t}_1} + \mu \lambda'_1 - \mu \lambda_1 e^{\lambda_1 \bar{t}_1} e^{-\lambda'_1 \bar{t}_1}}{1 - e^{\lambda_1 \bar{t}_1} \cdot e^{-\lambda'_1 \bar{t}_1}},$$

<sup>1)</sup> Подставив полученное асимптотическое выражение (8.48) в правую часть уравнения (8.47), мы получим следующее приближение для  $\bar{t}_1$  с точностью до членов порядка  $\mu^n \ln \frac{1}{\mu}$ . Таким путем, методом последовательных приближений, можно получить асимптотическое разложение для  $\bar{t}_1$  с точностью до  $O\left(\mu^n \ln \frac{1}{\mu}\right)$ , где  $n$  — любое целое положительное число. Однако это разложение не будет сходящимся.

получим:

$$\bar{s} = \left[ 1 + \frac{\mu K}{2(K-1)^2} \right] \left\{ \left( K - 1 - \frac{2\mu}{K-1} \right) e^{\lambda_1 \bar{t}_1} + K - 1 - \frac{\mu}{K-1} \right\} + \\ + O(\mu^2) = 2(K-1) + \frac{\mu}{K-1} \ln \frac{1}{\mu} + \frac{\mu}{K-1} \left[ K - 3 + \ln \frac{2(K-1)^2}{K} \right] + \\ + O\left(\mu^2 \ln^2 \frac{1}{\mu}\right).$$

Тогда, используя второе уравнение (8.46а), получим:

$$e^{\lambda_2 \bar{t}_2} = \frac{\bar{s}' + \mu \lambda'_2}{\mu \lambda'_2 - \mu \lambda_2} = (1 + 2\mu)(\bar{s}' + 1 - \mu) + O(\mu^2) = (2K-1) \times \\ \times \left\{ 1 + \frac{\mu \ln \frac{1}{\mu}}{(K-1)(2K-1)} + \mu \left[ \frac{2K(2K-3)}{(K-1)(2K-1)} + \frac{\ln \frac{2(K-1)^2}{K}}{(K-1)(2K-1)} \right] + \right. \\ \left. + O\left(\mu^2 \ln^2 \frac{1}{\mu}\right) \right\}^{\frac{1}{2}}, \\ \lambda_2 \bar{t}_2 = \ln(2K-1) + \frac{\mu \ln \frac{1}{\mu}}{(K-1)(2K-1)} + \mu \frac{2K(2K-3) + \ln \frac{2(K-1)^2}{K}}{(K-1)(2K-1)} + \\ + O\left(\mu^2 \ln^2 \frac{1}{\mu}\right)^3.$$

<sup>1)</sup> Погрешность числителя равна  $O\left(\mu^2 \ln \frac{1}{\mu}\right)$ ; поэтому выражения для  $\mu \lambda'_2$  и  $\mu \lambda_2$  мы берем с точностью до  $O(\mu^2)$ ,  $\frac{1}{1 - e^{\lambda_1 \bar{t}_1} \cdot e^{-\lambda'_1 \bar{t}_1}} = 1 + \frac{\mu K}{2(K-1)^2} + O\left(\mu^2 \ln \frac{1}{\mu}\right)$ , а член  $\mu \lambda_1 e^{\lambda_1 \bar{t}_1} e^{-\lambda'_1 \bar{t}_1} = O\left(\mu^2 \ln \frac{1}{\mu}\right)$  вносим в остаточный член.

Из полученного асимптотического выражения для  $\bar{s}'$  следует, что точка предельного цикла с абсциссой  $x = -1$  лежит на расстоянии порядка  $\mu \ln \frac{1}{\mu}$  от кривой  $ABCDA$ .

<sup>2)</sup> Все члены записываем с точностью до  $O\left(\mu^2 \ln \frac{1}{\mu}\right)$ . В частности,

$$\mu \lambda'_2 = 1 - \mu + O(\mu^2) \quad \text{и} \quad \frac{1}{\mu \lambda'_2 - \mu \lambda_2} = 1 + 2\mu + O(\mu^2).$$

<sup>3)</sup> Здесь удобно воспользоваться разложением

$$\ln(1+x) = x - \frac{1}{2}x^2 + O(x^3).$$

и, наконец,

$$\begin{aligned} \bar{t}_2 &= \frac{1}{\lambda_2} (\lambda_2 \bar{t}_2) = (1 - \mu) \lambda_2 \bar{t}_2 + O(\mu^2) \quad \text{или} \\ \bar{t}_2 &= \ln(2K-1) + \frac{\mu \ln \frac{1}{\mu}}{(K-1)(2K-1)} + \\ &+ \mu \left[ \frac{2K(2K-3)}{(K-1)(2K-1)} + \frac{\ln \frac{2(K-1)^2}{K}}{(K-1)(2K-1)} - \ln(2K-1) \right] + O\left(\mu^2 \ln^2 \frac{1}{\mu}\right). \end{aligned} \quad (8.49)$$

Суммируя с (8.48), мы получим следующее асимптотическое выражение для периода автоколебаний мультивибратора (для периода периодического решения системы (8.39) при малых  $\mu$ ):

$$\begin{aligned} \tau &= 2(\bar{t}_1 + \bar{t}_2) = 2 \ln(2K-1) + \frac{4K}{(K-1)(2K-1)} \mu \ln \frac{1}{\mu} + \\ &+ \left[ \frac{4K(2K-3)}{(K-1)(2K-1)} + \frac{4K \ln \frac{2(K-1)^2}{K}}{(K-1)(2K-1)} - 2 \ln(2K-1) \right] \mu + O\left(\mu^2 \ln \frac{1}{\mu}\right). \end{aligned} \quad (8.50)$$

Старший член в этом асимптотическом разложении, как и следовало ожидать, совпадает с предельным (при  $\mu \rightarrow +0$ ) выражением (8.43) для периода мультивибратора.

## § 6. Двухпозиционный авторулевый

В этом параграфе мы рассмотрим динамику судна, снабженного простейшей, так называемой двухпозиционной системой стабилизации курса — двухпозиционным авторулевым.

**1. Постановка задачи.** Пусть  $\varphi$  — отклонение судна от заданного курса (рис. 392). Составим упрощенное уравнение вращения судна вокруг вертикальной оси, проходящей через его центр тяжести, пренебрегая боковым сносом судна при разворотах и учитывая как момент сил  $M = M(\varphi)$ , создаваемый рулём, так и момент сил сопротивления —  $H \frac{d\varphi}{dt}$  ( $H$  — коэффициент вязкого трения). Если  $I$  — момент инерции судна относительно его вертикальной главной оси, то уравнение вращения судна имеет вид:

$$I \frac{d^2\varphi}{dt^2} + H \frac{d\varphi}{dt} = M. \quad (8.51)$$

Само по себе судно не обладает устойчивостью на курсе. В самом деле, при  $M = 0$  (руль находится в диаметральной плоскости, т. е. в плос-